

修改表（第5次印刷）

（2019年1月7日~2019年10月14日）

{红色花括号中为说明}

页 行 原 正

第1章

11 倒7 [章 2018]。 [章 2018], [章 2019]。

11 倒5 到 2017 年共 23 年 到 2018 年共 24 年

11 倒4 [章 2018]。 [章 2019]。

12 表 1.2.1 {将最下两行改为下面三行（增加 2018 行，改变小计和平均数据）}

2018	2863	747	26.09	206 (27.6)	275 (36.8)	100 (13.4)	155 (20.7)	11 (1.47)
小计	62186	15095	—	4706 (31.18)	4808 (31.85)	2237 (14.82)	3208 (21.25)	136 (0.90)
平均	2591	629	24.27	196	200	93	134	6

12 表 1.2.1 下 1 近 8 年 近 9 年

12 表 1.2.1 下 4 近 8 年 近 9 年

12 表 1.2.1 下 8 近 8 年 近 9 年

12 表 1.2.1 下 10 近 8 年 近 9 年

13 1 [章 2018] [章 2019]

13 表 1.2.2 {包括如下 11 行}

第 2 列第 7 行 国际标准实现等 国际标准实现改进等

第 2 列第 8 行 图像取证等 图像认证取证等

第 2 列第 11 行 图像分割, 边缘和角点 (感兴趣点/控制点) 等基元的检测 图像分割和基元检测 (边缘、角点、控制点、感兴趣点等)

第 2 列第 13 行 运动等 运动、显著性、属性等

第 2 列第 16 行 识别) 识别等)

第 2 列第 17 行 融合等 融合

第 2 列第 21 行 标注) 标注、分类等)

第 2 列第 22 行 目标姿态检测 目标 3-D 姿态检测

第 2 列第 27 行 、生理等 (生理、卫生、健康等)

第 2 列第 29 行 没有明确 没有直接/明确

第 2 列第 30 行 (覆盖 (同时覆盖

13 表 1.2.2 (右两列)

总数量	年平均
789	34
404	18
1330	58
1001	44
732	41
243	19
1640	71
276	12
404	18
1260	55
954	53
1099	48
313	14
109	5
452	25
169	13
441	19
357	15
250	11
525	23
1040	45
433	19
125	5

总数量	年平均
850	35
427	18
1387	58
1014	42
764	40
263	19
1707	71
281	12
450	19
1342	56
1029	54
1144	48
322	13
119	5
471	25
186	13
455	19
360	15
257	11
553	23
1111	46
465	19
136	6

25 2

[Gonzalez 2017]

[Gonzalez 2018]

第 3 章

63 例 5

得到锐化后的图像

得到利用锐化滤波增强后的图像

65 (3.4.1)下 2

$$1 < j - r$$

$$1 \leq j - r$$

65 (3.4.1)下 2

$$j + r < N$$

$$j + r \leq N$$

76 图题 3.1 下 1

4-通路和 8-通路

4-连通路和 8-连通路

第 4 章

97 (4.5.13)上 2

同态滤波来消除噪声

同态滤波中先对数变换的思路来消除噪声

97 (4.5.14)下 1

{在原文前先加下面一句

“噪声 $n(x, y)$ 现在以加性的形式出现, 可使用线性滤波器对其进行消除。”}

98 9

[Gonzalez 2017]

[Gonzalez 2018]

第 5 章

117 (5.3.13)上 1

r

s

117 (5.3.13)

r

s

117 (5.3.14)

g

g

118 (5.3.18)下 1

$$l_0 = a,$$

$$l_0 = \alpha, \text{ {希腊字母}}$$

118 (5.3.18)下 1

$$k_{i-1} = p/l_{i-1},$$

$$k_{i-1} = \beta/l_{i-1}, \text{ {希腊字母}}$$

118 (5.3.18)下 1

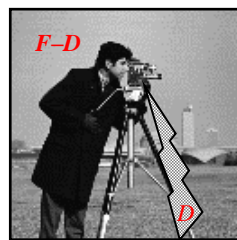
$$l_i = a - k_{i-1},$$

$$l_i = \alpha - k_{i-1}, \text{ {希腊字母}}$$

118 (5.4.3)上 2 , 它可以直接从式(5.4.2)推出。 。
 118 (5.4.3)上 1 {可直接接上段}
 118 (5.4.3)上 1 形式: 形式 (取 $Q^T Q = R_f^{-1} R_n$, 其中 R_f 和 R_n 分别为 f 和 n 的自相关矩阵):

第 6 章

129 (6.1.13)上 1 逆时针 顺时针
 129 (6.1.15)上 1 逆时针 顺时针
 130 (6.1.17)上 1 逆时针 顺时针
 131 (6.1.20) ex ce



137 图 6.3.2(b)

第 7 章

159 (7.1.38) $-\varepsilon$ $+\varepsilon$

第 10 章

235 (10.4.34)下 2 缩放函数系数 h_u 缩放函数系数 h_u (构成缩放矢量)
 235 (10.4.34)下 3 小波函数系数 h_v 小波函数系数 h_v (构成小波矢量)

第 12 章

274 5 图 12.1.1 图 12.1.2
 294 图 12.6.2 上 1 混合图像 恢复图像

第 13 章

303 图 13.1.3 {除去图中与中心黑点较远的那个“C”}
 317 倒 4 $r_2 = 3.61$ $r_2 = 3.32$
 318 (13.4.16) $H_i > H_j$ $H_i < H_j$
 321 倒 5 [Gonzalez 2017] [Gonzalez 2018]

第 14 章

332 图 14.2.3 {水平轴下的“275”改为“270”}

第 15 章

352 图 15.2.1 中心框 拉普拉斯滤波器 高斯平滑滤波器
 353 (15.2.8)下 2 拉普拉斯滤波器 高斯平滑滤波器
 364 图 15.5.5 上 8 包括 (均为空域法) 以下几种。 包括以下几种 (均为空域法)。
 372 表 15.5.1 表题 对图 15.5.12 对图 15.5.13

部分思考题和练习题解答

395 2-1 公式 {改为}

$$R = \begin{bmatrix} \cos(\pi/6) & \sin(\pi/6) \\ -\sin(\pi/6) & \cos(\pi/6) \end{bmatrix} = \begin{bmatrix} \sqrt{3}/2 & 1/2 \\ -1/2 & \sqrt{3}/2 \end{bmatrix}$$

395 2-1 公式下 $(5\sqrt{2}, 3\sqrt{2})$

$(\sqrt{3} + 4, 4\sqrt{3} - 1)$

396 3-2 (1) D_4 距离

4-连通路径长度

396 3-2 (1) D_8 距离

8-连通路径长度

396 3-2 (2) D_4 距离

4-连通路径长度

396 3-2 (2) D_8 距离

8-连通路径长度

397 8-2 {矩阵不变, 其右边部分改如下}

$\theta = 0^\circ$: 0 76 89 187 89 76 0

$\theta = 45^\circ$: 13 46 92 219 92 46 13

$\theta = 90^\circ$: 0 69 85 209 85 69 0

398 中部 第 12 章 图像水印

第 12 章 图像信息安全

参考文献

403 [章 2018]下 {插入}

[章 2019] 章毓晋. 中国图像工程: 2018.
中国图象图形学报, 24(5):
665-676.

405 第 13 篇 [Gonzalez 2017]

[Gonzalez 2018]